

Quelques mécanismes non conventionnels de l'effet Hall anormal

Mathieu Taillefumier

Max-Planck-Institut für Mikrostrukturphysik , Weinberg 2
D06120 Halle
LLN - CNRS, 25 avenue des martyrs, BP 166
38042 Grenoble

14 mars 2006

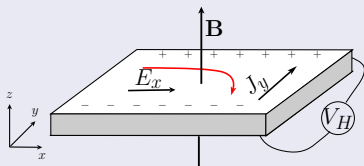
Co-directeurs de thèse : Claudine Lacroix et Patrick Bruno
Encadrants : Benjamin Canals et Vitalii Dugaev

Plan de l'exposé

- 1 Introduction à l'effet Hall anormal
 - Effet Hall anormal
 - Mécanismes responsables de l'AHE
 - Phases de Berry
- 2 Effet Hall Topologique
 - Motivations
 - Hamiltonien et transformation appliquée
 - Calcul de l'effet Hall et propriétés du champ topologique
 - Ordres de grandeur
 - Conclusion
- 3 Mécanisme de chiralité de spin
 - Motivations
 - Modèle employé
 - Résultats numériques
 - Conclusion
- 4 Conclusion générale

Effet Hall dans les matériaux conducteurs

Effet Hall dans les matériaux non magnétiques



- Effet Hall : Force de Lorentz
 $\mathbf{f} = q(\mathbf{E} + \mathbf{v} \times \mathbf{B}) \Rightarrow V_H \neq 0.$

- Définitions

- $\mathbf{J} = \bar{\sigma} \mathbf{E}$, $\bar{\sigma}$ est le tenseur conductivité.
- Conductivité transverse
 $\sigma_{xy} = J_y / E_x$
- Résistivité transverse
 $\rho_{xy} = [\bar{\sigma}^{-1}]_{xy} \approx \frac{\sigma_{xy}}{\sigma_{xx}^2}$

Effet Hall dans les matériaux ferromagnétiques (AHE)

- Origine : aimantation spontanée et couplage spin-orbite.
- Loi expérimentale (Pugh *et al.* 1940)

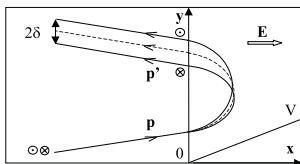
$$\rho_{xy} = \underbrace{R_0 B}_{\text{Effet Hall classique}} + \underbrace{R_s M}_{\text{Effet Hall anormal}}$$

Mécanismes de side-jump et de diffusion asymétrique

- Origine de ces mécanismes

- diffusion des électrons par des impuretés où défauts,
- couplage spin-orbite (réseau cristallin et impuretés).

- Mécanisme de side-jump (Berger 1970)



- Décalage transverse $\delta \approx 10^{-11}$ m du centre du paquet d'onde par rapport au centre diffuseur.
- Phénomène similaire à un spectromètre de masse mais résolu en spin.

- Mécanisme de diffusion asymétrique (Smit 1956)

- Section différentielle efficace de diffusion dépendante de la direction du spin de l'électron par rapport à la direction des vecteurs d'onde incident et diffusé.

Modèle de Karplus et Luttinger (1954)

Modèle

- Modèle d'électrons de Bloch en présence de couplage SO induit par le réseau cristallin,
- traitement perturbatif de l'interaction entre le champ \mathbf{E} et les électrons,
- la diffusion par les impuretés n'est pas prise en compte.

Résultats

$$\sigma_{xy} = \frac{e^2}{h} \sum_n \int \frac{d^2\mathbf{k}}{4\pi^2} n_f(\varepsilon_{n,\mathbf{k}}) \text{Im} \left[\left\langle \frac{\partial u_{n,\mathbf{k}}}{\partial k_x} \middle| \frac{\partial u_{n,\mathbf{k}}}{\partial k_y} \right\rangle \right]$$

- En général σ_{xy} fait intervenir uniquement les états proches du niveau de Fermi, ce qui n'est pas le cas ici.
- Haldane (2004) : σ_{xy} décrit l'évolution adiabatique de quasi-particules se déplaçant sur la surface de Fermi.
- Expression de σ_{xy} ne dépend pas du modèle employé
- σ_{xy} peut être exprimée en termes de courbure de Berry de chaque bande.

Phases de Berry

- Évolution temporelle d'un état quantique $|\psi\rangle$ décrite par l'équation de Schrödinger :

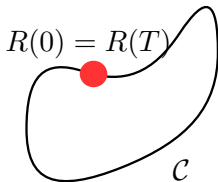
$$i\hbar \frac{d|\psi\rangle}{dt} = H(R(t))|\psi\rangle,$$

où $H(R(t))$ est un hamiltonien décrivant l'évolution du système et $R(t)$ un ensemble de paramètres.

- Lorsque l'évolution est cyclique
 $R(0) = R(T)$, T période de l'évolution,
 $\psi(T)$ et $\psi(0)$ diffèrent d'un terme de phase.
- Si $|\psi(t)\rangle = |n, R(t)\rangle$ est un état propre de $H(R(t))$ et que l'évolution est adiabatique alors

$$|\psi(T)\rangle = e^{i \int_0^T E_n(R(t)) dt} e^{i\gamma_C} |\psi(0)\rangle$$

- $\gamma_C = \int_C \langle n, R | \nabla_R | n, R \rangle dR$ est appelée **phase de Berry**. Elle dépend uniquement du chemin suivi par l'état ψ



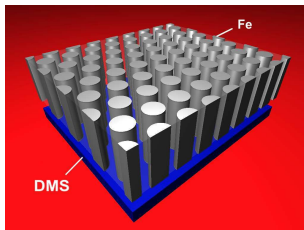
Différents problèmes abordés dans cette thèse

- 1 Rôle des impuretés dans l'AHE :
 - Contribution supplémentaire induite par la diffusion.
 - Elle est **indépendante de la concentration en impuretés**.
- 2 Effet Hall topologique :
 - Effet Hall induit par une texture magnétique inhomogène connue et contrôlable extérieurement.
 - Signature identifiable caractérisée par des sauts de σ_{xy} .
- 3 Mécanisme de chiralité de spin sur le réseau Kagomé :
 - Obtention d'un changement de signe alors que la chiralité est fixée
 - Proportionnalité entre σ_{xy} et la chiralité est vérifiée uniquement pour un nombre restreint de paramètres.
- 4 Dynamique d'un électron dans un champ magnétique inhomogène
 - Localisation des électrons au voisinage des lignes de champ magnétique $B(x, y) = 0$
 - Possibilité de courant permanents.

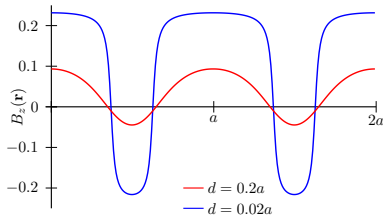
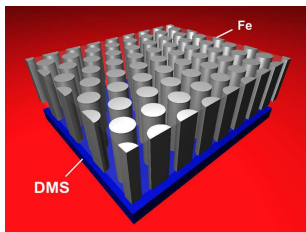
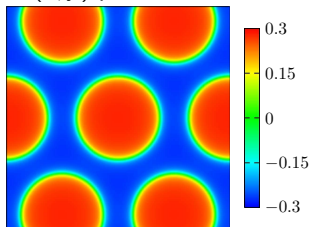
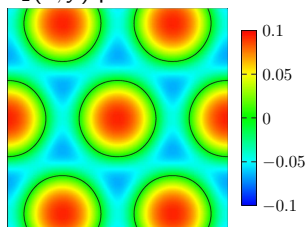
Effet Hall topologique

Motivations

- Effet Hall topologique : Contribution supplémentaire de l'effet Hall qui dépend uniquement de la **topologie** de la texture de l'aimantation.
- Problème : Contribution difficilement identifiable dans les ferromagnétiques car
 - présence simultanée des mécanismes de side-jump et de la diffusion asymétrique qui contribuent aussi à l'effet Hall,
 - texture magnétique n'est pas connue.
- But :
 - Proposer un système où la texture d'aimantation est connue et contrôlable.
 - Calculer l'effet Hall induit par la texture magnétique uniquement
- Système : Gaz d'électrons couplés à une texture de champ magnétique créée par un réseau de nanocylindres magnétiques.



Propriétés du champ magnétique créé par un réseau de nanocylindres

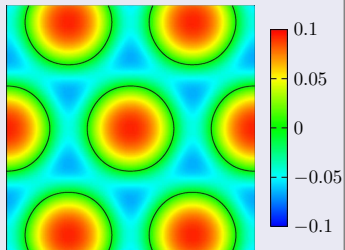
 $B_z(x, y)$ pour $d = 0.02 a$  $B_z(x, y)$ pour $d = 0.2 a$ 

Forme du Hamiltonien

Caractéristiques du modèle

- Gaz d'électrons libres confinés dans un plan xOy
- Champ magnétique inhomogène caractérisé par $\langle B_z(\mathbf{r}) \rangle = 0$ par maille élémentaire.
- Force de Lorentz nulle en moyenne ($\sigma_{xy} \propto \langle B_z(\mathbf{r}) \rangle = 0$ dans le modèle de Drude).
- On considère uniquement l'effet Zeeman.

Composante z de $\mathbf{B}(\mathbf{r})$

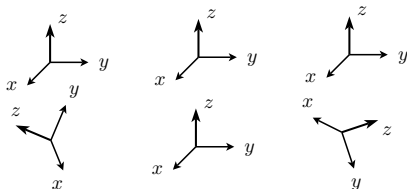


Hamiltonien

$$\mathcal{H} = - \underbrace{\frac{\hbar^2}{2m_*} \frac{\partial^2}{\partial r^2}}_{\text{énergie cinétique}} + \underbrace{g\mu_B \mathbf{B}(\mathbf{r}) \cdot \boldsymbol{\sigma}}_{\text{terme Zeeman}}$$

Transformation locale

- On veut s'affranchir du degré de liberté de spin

 $\mathbf{M}(\mathbf{r})$ 

axe global de quantification du spin

 $\Downarrow T(\mathbf{r})$

axe local de quantification du spin

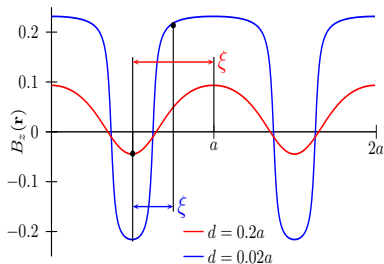
- $T(\mathbf{r})$ définit l'axe de quantification du spin le long du champ magnétique $\mathbf{B}(\mathbf{r}) = B(\mathbf{r})\mathbf{n}(\mathbf{r})$.
- Résultat

$$\mathcal{H}' = -\frac{\hbar^2}{2m^*} \left(\frac{\partial}{\partial \mathbf{r}} - i\frac{e}{\hbar} \mathbf{A}(\mathbf{r}) \right)^2 + g\mu_B B \sigma_z,$$

avec $\mathbf{A}(\mathbf{r}) = -2\pi i\phi_0 T^\dagger(\mathbf{r}) \frac{\partial}{\partial \mathbf{r}} T(\mathbf{r})$ est une quantité analogue à un potentiel vecteur.

Approximation Adiabatique

- L'approximation adiabatique correspond physiquement à conserver le spin de l'électron dans la direction du champ magnétique.
- Elle est gouvernée par :
 - τ_0 : Temps de précession du spin autour de $\mathbf{n}(\mathbf{r})$
 - τ : Temps de variation de $\mathbf{n}(\mathbf{r})$ dans le repère de l'électron. $\tau = \xi/v_F$, v_F vitesse d'un électron au niveau de Fermi et ξ la distance caractéristique séparant deux extrêmes consécutifs du champ magnétique.
- Paramètre d'adiabaticité



$$\lambda = \frac{\tau}{\tau_0} = \frac{\varepsilon_F}{\varepsilon_0 k_F \xi},$$

ε_0 est le splitting Zeeman.

Condition d'adiabaticité : $\lambda \ll 1$

Approximation adiabatique

Critère d'adiabaticité vérifié : $\lambda \ll 1$

$$\mathcal{H}' \xrightarrow{\lambda \ll 1} \tilde{\mathcal{H}} = \underbrace{-\frac{\hbar^2}{2m^*} \left(\frac{\partial}{\partial \mathbf{r}} - i \frac{e}{\hbar} \mathbf{a}(\mathbf{r}) \right)^2}_{\text{Énergie cinétique}} + \underbrace{V(\mathbf{r})}_{\text{Potentiel scalaire}}$$

- $\tilde{\mathcal{H}}$ décrit le mouvement d'une particule "chargée" sans spin en présence d'une force \mathbf{f} similaire à la force de Lorentz (Aharonov *et al* 1992).
- Champs équivalents $\mathbf{b}_t(\mathbf{r}) = \nabla_{\mathbf{r}} \times \mathbf{a}(\mathbf{r})$ et $\mathbf{e}_t = -\nabla_{\mathbf{r}} V(\mathbf{r})$
- $\mathbf{b}_t(\mathbf{r})$ et $\mathbf{e}_t(\mathbf{r})$ existent parce que $\mathbf{B}(\mathbf{r})$ varie spatialement.

Conclusion

si $\langle \mathbf{b}_t(\mathbf{r}) \rangle \neq 0 \Rightarrow$ Effet Hall possible alors que $\langle \mathbf{B}(\mathbf{r}) \rangle = 0$

Calcul de σ_{xy}

Simplifications des calculs

- 1 On considère uniquement la valeurs moyenne $\langle b_t(\mathbf{r}) \rangle_S$ (S est la cellule élémentaire).
- 2 $\langle \mathbf{b}_t \rangle_S \neq 0$ en général alors que $\langle \mathbf{B} \rangle_S = 0$.
- 3 On considère le modèle de Drude avec $\tau_{\uparrow, \downarrow}$ les temps de relaxation des électrons de spin \uparrow, \downarrow .

$$\sigma_{xy} = \sum_{i=\uparrow, \downarrow} \frac{n_i e^2 \tau_i}{m} \frac{\omega_c^i \tau_i}{1 + (\omega_c^i \tau_i)^2} \text{ avec } \omega_c^{\uparrow, \downarrow} = \pm e \langle b_t \rangle / m$$

- 4 $\omega_c^{\uparrow, \downarrow} \tau_{\uparrow} \ll 1$,

$$\sigma_{xy} \approx \left(\frac{n_{\uparrow} e^3 \tau_{\uparrow}^2}{m^2} - \frac{n_{\downarrow} e^3 \tau_{\downarrow}^2}{m^2} \right) \langle b_t(x, y) \rangle \propto \int_S \mathbf{b}_t d\mathbf{S} = \phi_t$$

Conséquence :

σ_{xy} est proportionnelle au flux du champ **topologique**.

Propriétés du champ topologique

Propriétés générales (surface quelconque)

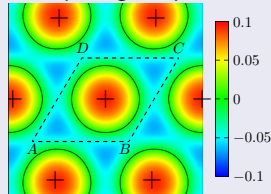
$$\phi_t = \int_S b_t d\mathbf{S} = \oint_{C(S)} \mathbf{a}(\mathbf{r}) \cdot d\mathbf{l} = \frac{\phi_0}{2\pi} \gamma_t,$$

γ_t est la phase de Berry acquise par un spin se déplaçant le long de $C(S)$.

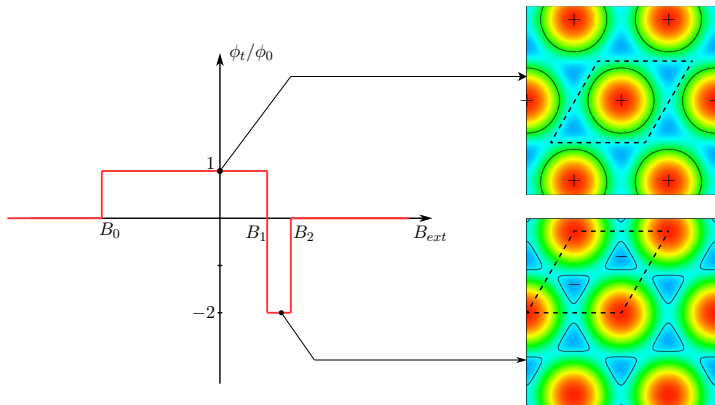
Conséquences de la périodicité de $\mathbf{B}(\mathbf{r})$

- ϕ_t travers une maille élémentaire ($ABCD$) est quantifié.
- $\phi_t = \phi_0(n_+ - n_-)$ où n_{\pm} sont le nombre de régions délimitées par les lignes fermées $B_z = 0$ où $B_z > 0$ (+) ou $B_z < 0$ (-)
- Il est possible de modifier ϕ_t en appliquant un champ magnétique extérieur suivant z (topologie des lignes de champ $B_z = 0$ modifiée).

Composante $B_z(\mathbf{r})$ du champ magnétique



Variations de ϕ_t lorsqu'un champ magnétique extérieur est appliqué

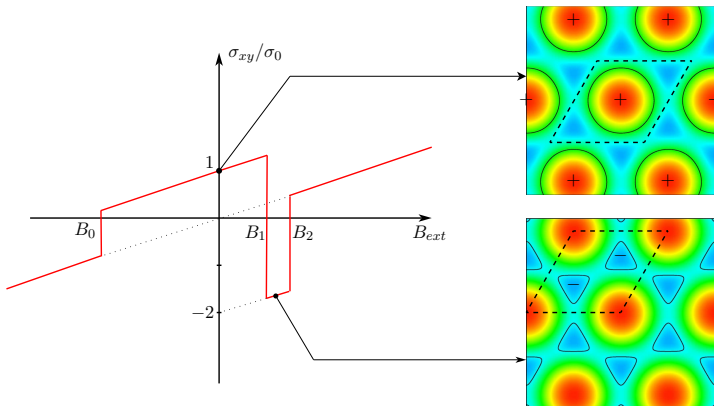


- Application d'un champ magnétique extérieur se traduit par des variations discontinues de ϕ_t .

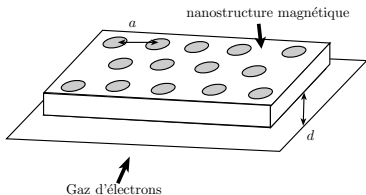
$\sigma_{xy}(B_{ext})$ pour un gaz totalement polarisé en spin

- Présence d'un champ magnétique B_{ext} additionnel : Effet Hall classique + Effet Hall topologique.
- Gaz complètement polarisé en spin.

$$\sigma_{xy} = \frac{n_{\uparrow} e^3 \tau_{\uparrow}^2}{m_{\star}^2} (B_{ext} + \langle b_t(x, y) \rangle)$$



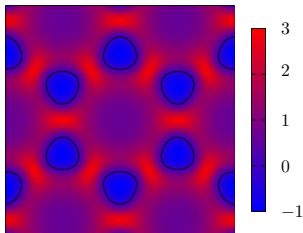
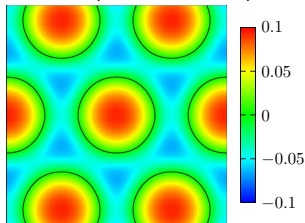
Ordres de grandeur du champ magnétique et topologique



- Paramètres de la structure
 - $d = 20$ nm
 - $a = 100$ nm
- Amplitude de B_z de l'ordre de 0.2 T pour le fer
- $\langle b_t \rangle \approx 0.48$ T ($\langle B_z(\mathbf{r}) \rangle = 0$)
- $\sigma_{xy} \approx 0.15 \Omega^{-1}$ (pour des trous dans $\text{Cd}_{1-x}\text{Mn}_x\text{Se}$)

⇒ Effet observable

B_z ($\times 2$ T pour Fe)



b_t (ϕ_0/S)

Critère d'adiabaticité (semi-conducteurs magnétiques)

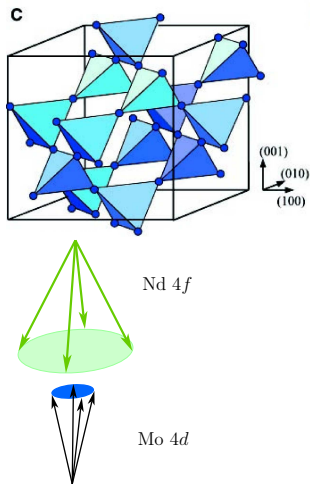
- Effet Zeeman plus important dans les semi-conducteurs magnétiques que dans les semi-conducteurs usuels.
- Possibilité de prendre des trous à la place des électrons car le spin des trous est plus grand donc $\langle b_t \rangle_t \geq \langle b_t \rangle_e$.
- Paramètre d'adiabaticité $\lambda = \frac{\varepsilon_F}{E_{ex} k_f \xi}$
 - paramètres géométriques : $d = 20$ nm, $a = 100$ nm, $B_z \approx 0.2$ T, $T = 4.2$ K
 - Trous ($\text{Cd}_{1-x}\text{Mn}_x\text{Se}$) : $m_* = 0.5m_0$, $n = 10^{11}$ cm $^{-2}$, $\varepsilon_F \approx 1$ meV, $E_{ex} \approx 11$ meV
 $\lambda \ll 1$, approximation adiabatique vérifiée
 - électrons ($\text{Cd}_{1-x}\text{Mn}_x\text{Se}$) : $n = 10^{11}$ cm $^{-2}$, $m_* = 0.22 m_0$, $\varepsilon_F \approx 4.4$ meV, $E_{ex} \approx 2$ meV
 $\lambda \approx 1$, approximation adiabatique non valide et effet Hall topologique réduit
- Conséquences : un gaz de trous est plus approprié qu'un gaz d'électrons pour mesurer l'effet Hall topologique.

Conclusion

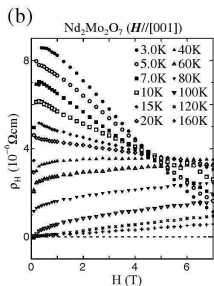
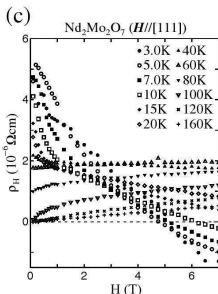
- 1 Effet Hall topologique : Effet Hall qui dépend uniquement de des variations spatiales du champ magnétique.
- 2 Mesure possible de l'effet Hall topologique induit par une texture magnétique contrôlable par des paramètres géométriques et modifiable par application d'un champ magnétique extérieur.
- 3 Variations brutales de σ_{xy} lorsqu'un champ magnétique extérieur est appliqué : c'est la signature caractéristique de l'effet Hall topologique.

Mécanisme de chiralité de spin

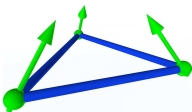
Structure du composé $\text{Nd}_2\text{Mo}_2\text{O}_7$



- $\text{Nd}_2\text{Mo}_2\text{O}_7$: Réseau pyrochlore.
- Moments magnétiques portés par les atomes de Mo et de Nd.
- Transition de phase ferromagnétique à 90 K. Ordre partiel des moments de Nd à basse température à cause l'interaction anti-ferromagnétique entre Nd et Mo.
- En dessous de 30 K, les moments magnétiques de Mo et de Nd sont dans une configuration chirale.

Effet Hall dans $\text{Nd}_2\text{Mo}_2\text{O}_7$ (Yasui *et al.* 2003)(Yasui *et al.* 2003)

- $\rho_{xy} \rightarrow 0$ lorsque $T \rightarrow 0$ (comportement canonique) dans les composés ferromagnétiques usuels (Pugh *et al.* 1953).



- Chiralité de spin définie par $\chi = \mathbf{S}_1 \cdot (\mathbf{S}_2 \times \mathbf{S}_3)$.
- diffusion de neutron : signe de χ_{Mo} dépend aussi de B .
- Mécanisme de chiralité de spin proposé pour expliquer l'AHE

- Signe de ρ_{xy} dépend de la direction de \mathbf{B}
- ρ_{xy} tend vers une valeur finie lorsque $T \rightarrow 0$.

Mécanisme de chiralité de spin

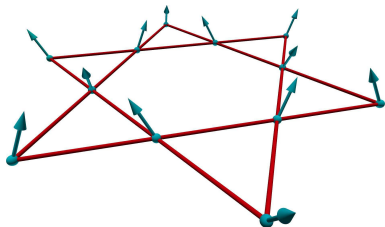
Études antérieures

- Ye *et al.* (1999) proposent pour le mécanisme de chiralité de spin pour expliquer l'AHE dans les manganites.
- Cas des verres de spins (Tatara et Kawamura 2001)
 - Système désordonné.
 - $\sigma_{xy} \propto \langle S_i \cdot (S_j \times S_k) \rangle$ lorsque le couplage entre les moments et le spin des électrons itinérants est faible.
 - Expériences semblent prouver que c'est le mécanisme dominant (Paturel *et al.* 2004)
- Cas de $\text{Nd}_2\text{Mo}_2\text{O}_7$: Réseau ordonné

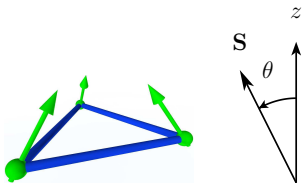
But

Étudier le rôle de la chiralité de spin dans un modèle plus simple que $\text{Nd}_2\text{Mo}_2\text{O}_7$.

Hamiltonien de double-échange



- Structure en ombrelle (θ angle de l'ombrelle)



- Réseau kagomé considéré (réseau triangulaire de triangles).
- Hamiltonien

$$\mathcal{H} = t \sum_{\langle i,j \rangle} (c_{i,\sigma}^\dagger c_{j\sigma} + c.c.) - J \sum_i c_{i\alpha}^\dagger (\mathbf{S}_i \cdot \boldsymbol{\sigma}_{\alpha,\beta}) c_{i,\beta}.$$

- Les moments magnétiques sont traités classiquement
- Paramètres du problème
 - la constante de couplage J/t
 - le remplissage
 - $\chi(\theta) = S_A \cdot (S_B \times S_C) = \frac{3\sqrt{3}}{2} \sin^2 \theta \cos \theta$

calcul de σ_{xy}

$J \rightarrow \infty$: limite étudiée par Ohgushi *et al* (2000)

- Hamiltonien effectif

$$\mathcal{H} \xrightarrow{J \rightarrow \infty} \mathcal{H}_{\text{eff}} = \sum_{\langle i,j \rangle} \tilde{t}_{ij} (c_i^\dagger c_j + \text{c.c.}) \text{ avec } \tilde{t}_{ij} \propto \exp i\phi$$

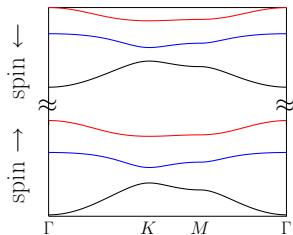
- \mathcal{H}_{eff} décrit le mouvement d'un électron sans spin en présence d'un flux magnétique ϕ inclus dans le terme de saut.
- σ_{xy} non nul lorsque la structure magnétique est chirale.

J fini

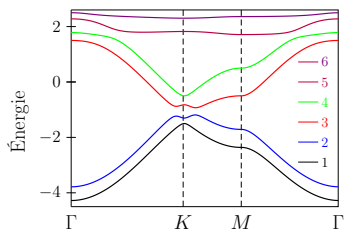
- On considère uniquement le terme de Karplus et Luttinger.

$$\sigma_{xy} = \frac{e^2}{\hbar S} \sum_{\substack{n \neq m \\ k}} f(\varepsilon_{nk}) \frac{v_x^{\text{nm}} v_y^{\text{mn}} - v_y^{\text{nm}} v_x^{\text{mn}}}{(\varepsilon_{nk} - \varepsilon_{mk})^2} = \frac{e^2}{h} \sum_n \frac{1}{2\pi} \int_{\text{ZB}} d^2 \mathbf{k} f(\varepsilon_{n,\mathbf{k}}) \Omega_{n,\mathbf{k}}$$

Structure de bande



$$J/t \rightarrow \infty, \theta = \pi/3$$

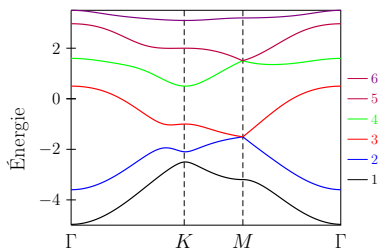


$$J/t = 0.5, \theta = \pi/3$$

- Existence de gap donc σ_{xy} est quantifiée

$$\sigma_{xy} = \frac{e^2}{h} \sum_n \nu_n \text{ avec } \nu_n = \frac{1}{2\pi} \int d^2\mathbf{k} \Omega_{n,\mathbf{k}}$$

- ν_n sont des entiers appelés nombres de Chern.

Existence et influence du croisement de bande sur ν_n 

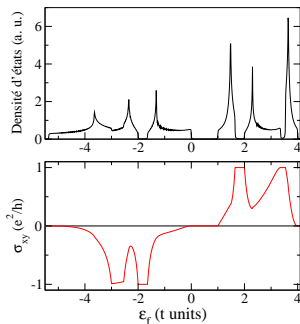
$$J = 3t/2 \quad \theta = \pi/3$$

- Croisement de bande pour

$$J = J_c(\theta) = \frac{2}{\sqrt{1 + 3 \cos^2 \theta}}$$

- Modification des nombres de Chern lorsque J passe par $J_c(\theta)$.

- Nombres de Chern différents suivant que $J < J_c$ ou $J > J_c$. Cela implique des modifications de σ_{xy} lorsque les paramètres J, ε_F où la chiralité sont modifiés.

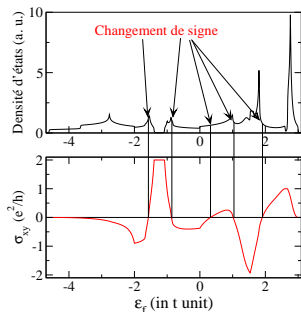
Variations de $\sigma_{xy}(\varepsilon_f)$ ($J > J_c(\theta)$)

$$\sigma_{xy} = \frac{e^2}{h} \sum_n \frac{1}{2\pi} \int_{ZB} d^2\mathbf{k} f(\varepsilon_{n,\mathbf{k}}) \Omega_{n,\mathbf{k}},$$

- $J > J_c(\theta)$:
 - Valeur des plateaux $\pm e^2/h, 0$ (niveau de Fermi dans un gap)
 - $\nu_n = (-1, 0, 1, 1, 0, -1)$

$J > J_c(\theta)$

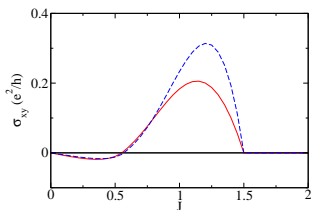
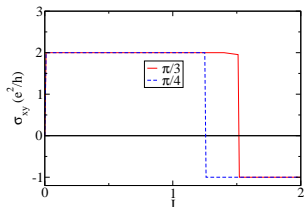
Pas de comportements particuliers de la conductivité transverse

Variations de $\sigma_{xy}(\varepsilon_f)$ ($J < J_c(\theta)$)

- $\nu_n = (-1, 3, -2, -2, 3, -1)$
- Valeur des plateaux $\pm 2e^2/h, \pm e^2/h, 0$
- Changement de signe de σ_{xy} alors que la densité d'états ne présente pas de variations particulières.

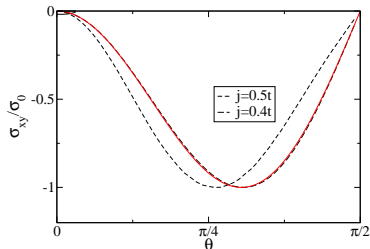
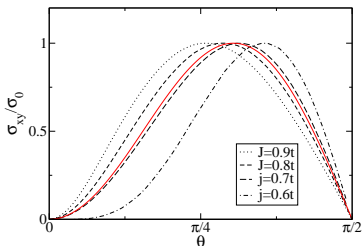
- Lorsque ε_F est dans un gap :
 - σ_{xy} est quantifiée.
 - Valeur des plateaux dépend du croisement de bande.
- Toutes les variations de σ_{xy} sont possibles y compris des *changements de signe* lorsque le niveau de Fermi est dans une bande.

Variations de $\sigma_{xy}(J)$ à χ et remplissage ν fixés



- $\nu = 1/3$
 - $\sigma_{xy}(J)$ est quantifiée.
 - Changement de signe induit par une modification des nombres de Chern.
- $\nu = 1/2$.
 - $\sigma_{xy} = 0$ lorsque $J > 3t/2$ (niveau de Fermi dans un gap).
 - Origine :
 - Modification de la structure de bande uniquement
 - $J < 3/2$: changement de signe de σ_{xy} autour de $J = 0.6t$.

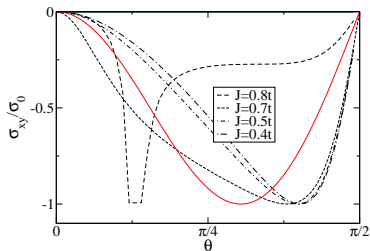
- Changement de signe observé n'est pas lié à la chiralité.

Lien entre χ et σ_{xy} au demi-remplissage

- $\sigma_{xy} \propto \chi$ pour $0.6t < J < t$
- $\sigma_{xy} \propto -\chi$ pour $J < 0.6t$

Résumé

- Généralisation du modèle de Tataru et Kawamura (2002)
- χ est un paramètre pertinent pour le remplissage symétrique

Lien entre σ_{xy} et χ : Remplissage $\nu = 1/4$ 

- Impossible de trouver une relation simple entre σ_{xy} et χ .

Conclusion

La chiralité de spin n'est pas un paramètre pertinent lorsque le remplissage est différent du remplissage symétrique ($\nu = 1/2$)

Conclusion

- 1 Le croisement de bande induit une modification des propriétés de σ_{xy}
- 2 Observation à **Chiralité fixée** de différents **changements de signe** de σ_{xy} lorsque J ou le niveau de Fermi varient. Ce changement de signe est lié à une modification des propriétés topologiques du modèle.
- 3 Étude de $\sigma_{xy}(\chi)$ pour différentes valeurs du remplissage et de J , montre que la chiralité n'est pas un paramètre pertinent en dehors du remplissage symétrique.
- 4 Cas de $\text{Nd}_2\text{Mo}_2\text{O}_7$: Changement de signe observé lors de la mesure de ρ_{xy} ne permet pas de conclure si le mécanisme de chiralité de spin est dominant dans ce composé.

Conclusion et perspectives

① Effet Hall topologique.

- Application d'un champ **magnétique inhomogène couplé au spin d'un électron**, se traduit par la présence d'un champ topologique $b_t(\mathbf{r})$ dépendant uniquement de la topologie du champ magnétique. Sous certaines conditions, $b_t(\mathbf{r})$ induit une contribution supplémentaire à l'effet Hall appelé effet Hall topologique.
- Prendre en compte les inhomogénéités du champ topologique et des corrections non adiabatiques dans le calcul de la conductivité transverse.
- Etudier l'effet de la force de Lorentz créée par un champ magnétique inhomogène sur le transport électronique.

② Mécanisme de chiralité de spin

- Le changement de signe de σ_{xy} observé dans $\text{Nd}_2\text{Mo}_2\text{O}_7$ ne permet pas de dire que le mécanisme de chiralité de spin est un mécanisme pertinent pour ce composé.
- Étude plus quantitative de σ_{xy} dans $\text{Nd}_2\text{Mo}_2\text{O}_7$ doit prendre en compte la structure cristalline et magnétique de ce composé